

Zeitschrift: IABSE congress report = Rapport du congrès AIPC = IVBH
Kongressbericht

Band: 9 (1972)

Artikel: Das dynamische Verhalten eines vorgespannten Kabelnetzes

Autor: Jensen, Jens Jacob

DOI: <https://doi.org/10.5169/seals-9585>

Nutzungsbedingungen

Die ETH-Bibliothek ist die Anbieterin der digitalisierten Zeitschriften auf E-Periodica. Sie besitzt keine Urheberrechte an den Zeitschriften und ist nicht verantwortlich für deren Inhalte. Die Rechte liegen in der Regel bei den Herausgebern beziehungsweise den externen Rechteinhabern. Das Veröffentlichen von Bildern in Print- und Online-Publikationen sowie auf Social Media-Kanälen oder Webseiten ist nur mit vorheriger Genehmigung der Rechteinhaber erlaubt. [Mehr erfahren](#)

Conditions d'utilisation

L'ETH Library est le fournisseur des revues numérisées. Elle ne détient aucun droit d'auteur sur les revues et n'est pas responsable de leur contenu. En règle générale, les droits sont détenus par les éditeurs ou les détenteurs de droits externes. La reproduction d'images dans des publications imprimées ou en ligne ainsi que sur des canaux de médias sociaux ou des sites web n'est autorisée qu'avec l'accord préalable des détenteurs des droits. [En savoir plus](#)

Terms of use

The ETH Library is the provider of the digitised journals. It does not own any copyrights to the journals and is not responsible for their content. The rights usually lie with the publishers or the external rights holders. Publishing images in print and online publications, as well as on social media channels or websites, is only permitted with the prior consent of the rights holders. [Find out more](#)

Download PDF: 15.02.2026

ETH-Bibliothek Zürich, E-Periodica, <https://www.e-periodica.ch>

Das dynamische Verhalten eines vorgespannten Kabelnetzes

The Dynamic Behaviour of a Prestressed Cable-Net Structure

Le comportement dynamique d'un filet de câbles précontraint

JENS JACOB JENSEN
The Technical University of Norway

1. EINLEITUNG

Die heutigen Berechnungsverfahren der Seil- und Membrantragwerke ermöglichen eine theoretische Berechnung dieser Systeme in statischer und dynamischer Beziehung (1), (2), (3). Für eine dynamische Untersuchung aber, sind die Dämpfungseigenschaften von Bedeutung. Bisher liegen wenige Angaben über die Dämpfungseigenschaften ausgeführter Seil- und Membrantragwerke vor. Versuche in grossem Maßstab können Auskunft über die Dämpfungseigenschaften, die Einwirkung der umgebenden Luft sowie das dynamischen Verhalten unter Windlast geben. Im folgenden soll über den Bau eines vorgespannten Kabelnetzes für die Durchführung von dynamischen Versuchen in grossem Maßstab, und die erzielten Ergebnisse berichtet werden.

2. VERSUCHSOBJEKT

Die erbaute Dachkonstruktion ist ein vorgespanntes Kabelnetz, bestehend aus gegenseitig gekrümmten Stahlseilen. Das Tragwerk überspannt eine Fläche von etwa 170 m^2 und ist durch vier Stützen gestützt. Das Netz weist eine Maschenweite von 1,50 m auf und ist an Randseilen, die über den Stützen und im Boden verankert sind befestigt. Als Dachhaut wurde ein Polyesterstoff mit beidseitiger PVC-Beschichtung gewählt. Die Dachfolie ist über das Kabelnetz gespannt und an den Netzknoten befestigt.

Für die Netz- und Randseile wurden verzinkte Spiraldrahtseile mit einer Zugfestigkeit von 145 kp/mm^2 verwendet. Die Netzseile bestehen aus zwei parallelen Spiralseilen von je $\phi 9,0 \text{ mm}$ ($F=50 \text{ mm}^2$), während die Randseile bestehen aus drei parallelen Spiralseilen von

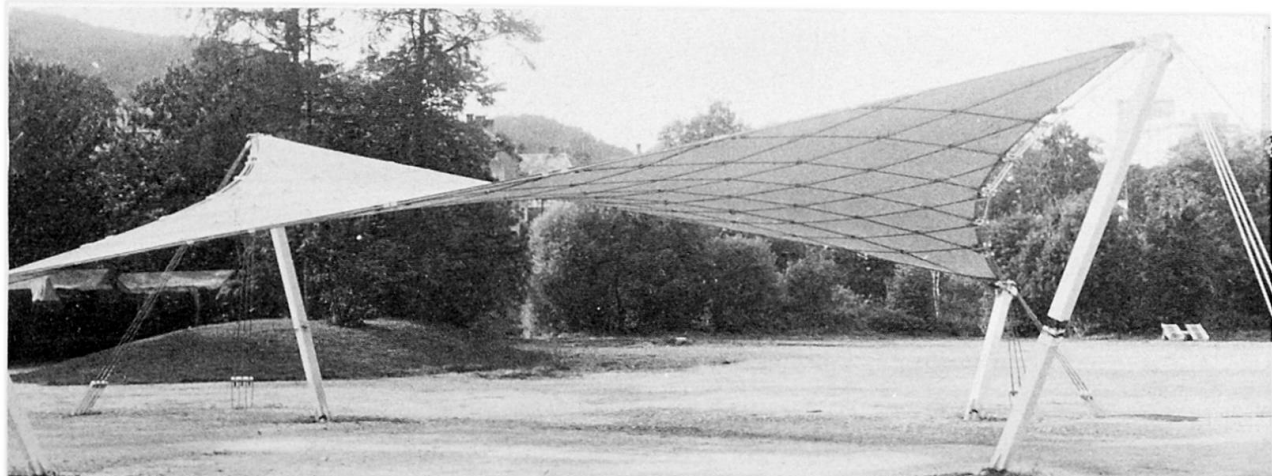


Bild 1. Versuchsobjekt

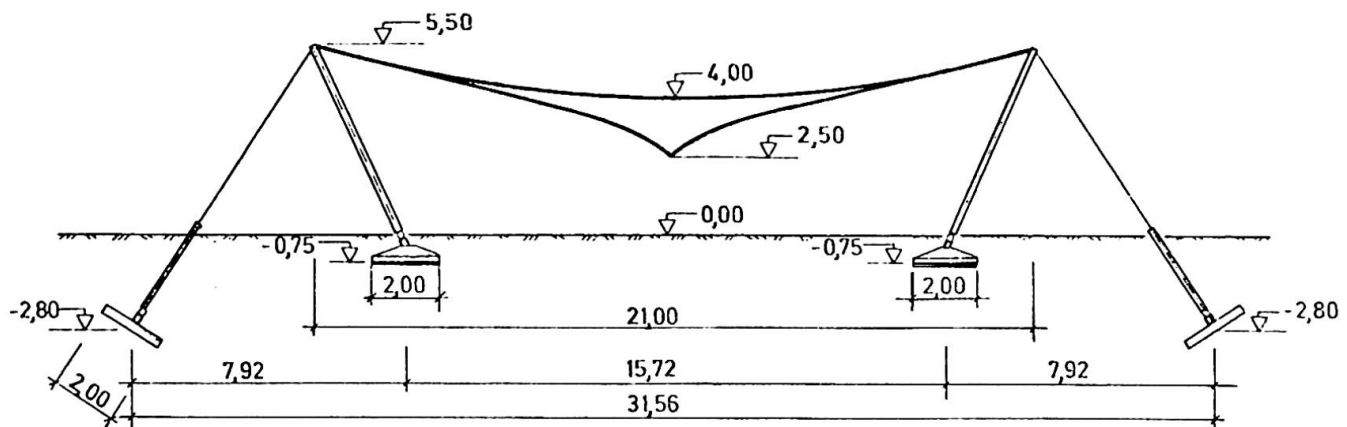


Bild 2. Abmessungen des Versuchsobjektes

je $\phi 21,0$ mm ($F=260$ mm^2). Die inneren Knotenpunkte verbinden die sich kreuzenden Netzseile durch Klemmwirkung, und die Netzseile sind an den Randseilen gelenkig angeschlossen.

Die Seilverankerungen der Netz- und Randseile sollen weil es sich um eine Neuentwicklung handelt, kurz etwas näher beschrieben werden. Sie vermittelt die Verbindung zwischen Seil und einem Anschluss-stück und dient zum Anschluss der Netzseile an den Knotenpunkten der Randseile, und zum Anschluss der Randseile an den Bodenverankerungen. Es handelt sich um ein patentiertes Kompressions-system, wobei das Anschluss-stück durch Explosive an das Kabelende aufgepresst wird. Bei Detonation der Explosive wird das Anschluss-stück einem Aussendruck der ein Mehrfaches der Fliessgrenze des Materials des Anschluss-stückes beträgt ausgesetzt. Man erhält somit eine Verformung des Anschluss-stückes und des Seilquerschnittes, und erzielt die Verbindung zwischen Seil und Anschluss-stück (Bild 4).

Zur Festlegung der Hauptabmessungen der Netz- und Randseile sowie der Hauptabmessungen der Stützen und Bodenverankerungen wurden die Schnittkräfte des Kabelnetzes mittels einfacher Seilstatik ermittelt. Für eine genauere Untersuchung des Tragwerkes wurden elektronische Berechnungen nach dem in (1) aufgestellten Verfahren durchgeführt. Es wurde mit zwei Berechnungsmodellen gerechnet, ein grosses Modell und ein einfaches Modell. Das grosse Modell enthält 208 Elemente und 117 Knotenpunkte und kommt dem vorhandenen Kabelnetz sehr nahe. Das kleine Modell ist im Bild 5 wiedergegeben und enthält 48 Elemente und 25 Knotenpunkte.

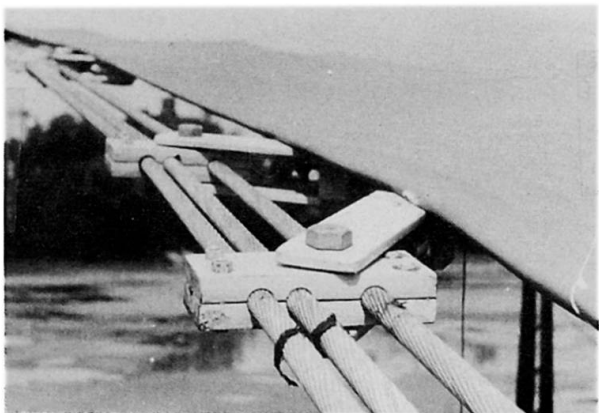


Bild 3. Randknotenpkt.

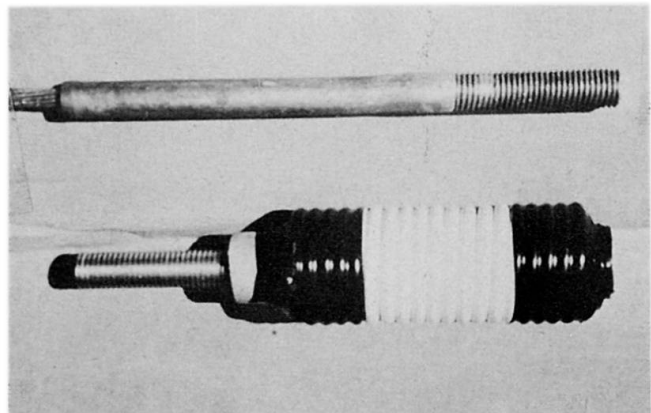


Bild 4. Seilverankerung

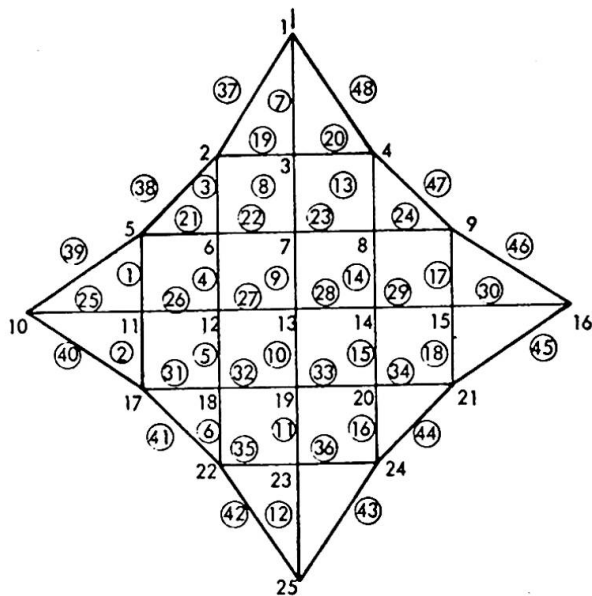
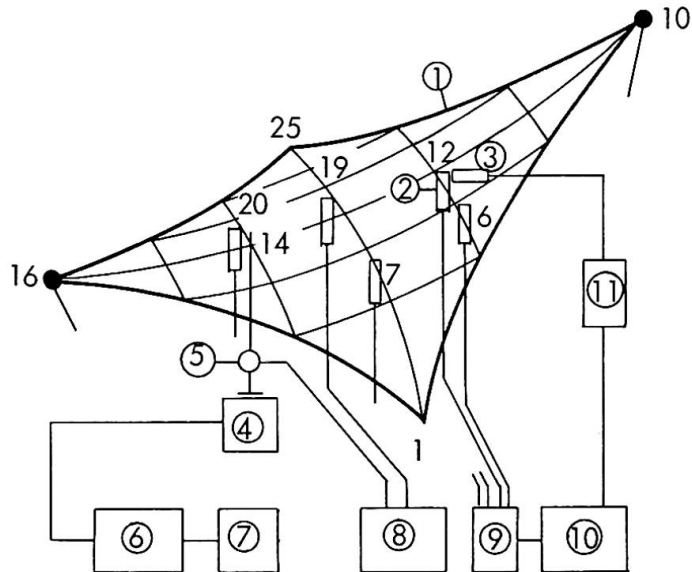


Bild 5.
Kleines Berechnungsmodell



1. Kabelnetz 2. Verschiebungsmesser 3. Luftdruckmesser
4. Vibrator 5. Kraftmesser 6. Verstärker
7. Oszillator 8,10. Schreiber 9,11. Messbrücke.

3. VERSUCHS- UND MESSEINRICHTUNGEN

Die Durchführung einer experimentellen Untersuchung des Kabelnetzes, speziell im Rahmen eines Feldversuches, erforderte besondere Einrichtungen. Vor allem wurden die Versuche auf das dynamische Verhalten des Kabelnetzes konzentriert, womit die verschiedenen Eigenfrequenzen, Schwingungsformen und Dämpfungseigenschaften sowie die Einwirkung des Luftdruckes und das Verhalten bei Wind untersucht werden sollte. Statische Versuche wurden vor und nach der dynamischen Untersuchung, vorwiegend um die Geometrie und den Spannungszustand des Kabelnetzes zu überprüfen durchgeführt. Das Versuchsprограмm sah freie und erzwungene Schwingungen des Kabelnetzes vor, und zwar mit und ohne Dachhaut. Durch Luftdruckmessungen während des Schwingungsvorganges sollten Fragen in bezug auf die aerodynamische Dämpfung und das Verhalten der umgebenden Luft geklärt werden. Die allgemeine Versuchseinrichtung ist im Bild 6 dargestellt.

4. VERSUCHSERGEBNISSE

Freie Schwingungen

Das Kabelnetz wurde entweder von Hand, oder durch Loslassen eines aufgehängten Gewichtes im Kabelnetz in Schwingungen versetzt. Dabei konnten die tieferen Eigenschwingungsformen mit den zugehörigen Eigenfrequenzen und Dämpfungseigenschaften bestimmt werden. Die Versuche wurden mit und ohne Dachhaut und mit variabler Masse durchgeführt. Die Stufen der Massenverteilung werden wie folgt bezeichnet:

- $m=1$: Masse entsprechend einer volle Belastung von etwa 10 kp/m^2 (23.0 kp in jedem inneren Knotenpunkt), zusätzlich Eigengewicht.
- $m=\frac{1}{2}$: Masse entsprechend einer Belastung von 23.0 kp in jedem zweiten inneren Knotenpunkt, zusätzlich Eigengewicht.
- $m=0$: Masse entsprechend Belastung infolge Eigengewicht.

Die gemessenen Eigenfrequenzen der ersten Schwingungsform (Bild 7) sind zusammen mit berechneten Werten als Funktion der Masse im Bild 8 dargestellt. Die rechnerischen Werte der Eigenfrequenzen sind am einfachen Berechnungsmodell (Bild 5) ermittelt. Eine wichtige Erkenntnis dieser Versuchsergebnisse ist die unterschiedliche

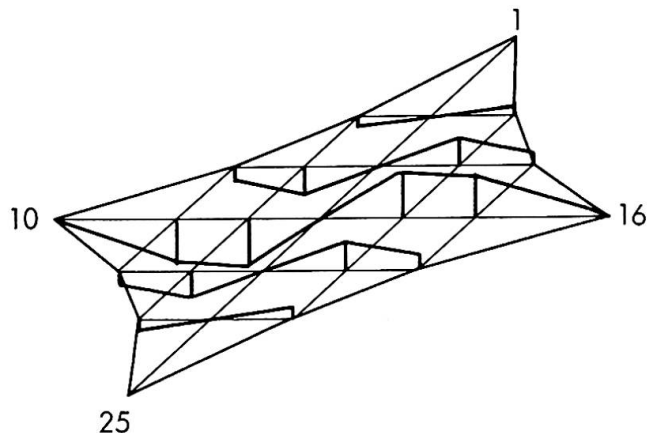


Bild 7. Erste Schwingungsform

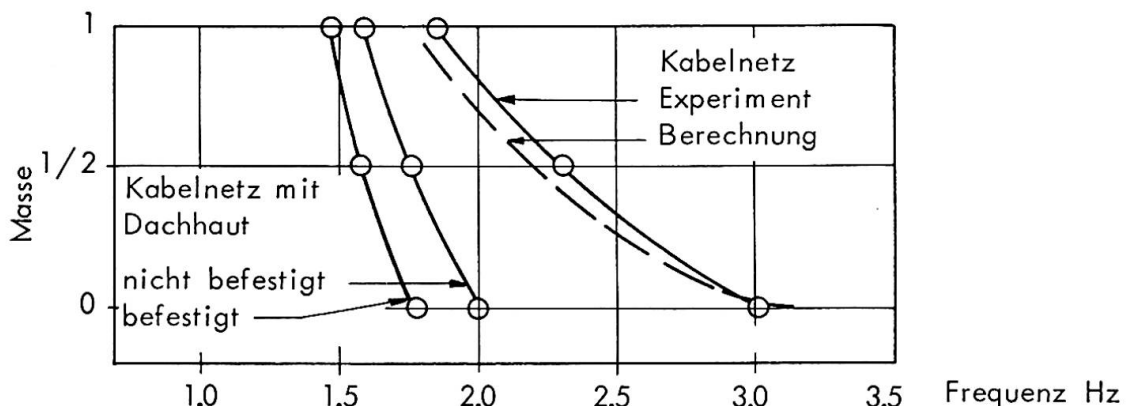


Bild 8. Erste Eigenfrequenz als Funktion der Masse

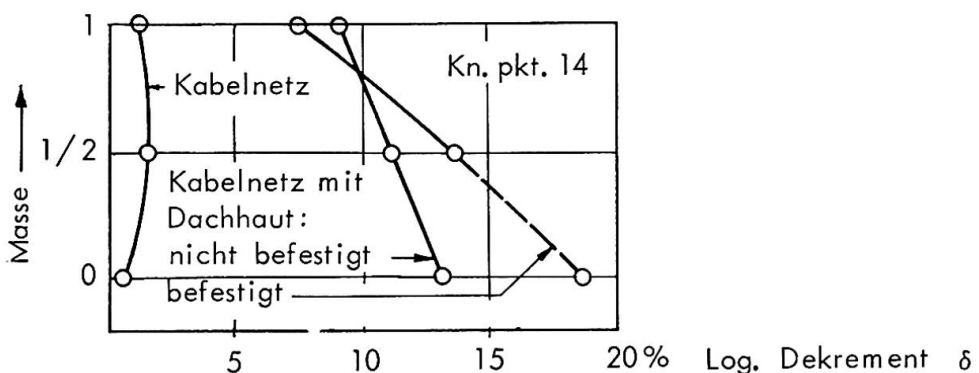


Bild 9. Dämpfung als Funktion der Masse

Massen- und Frequenzabhängigkeit des Kabelnetzes mit und ohne Dachhaut. Erstens liegen die Frequenzen des Kabelnetzes ohne Dachhaut höher, zweitens nehmen die Frequenzen mit abnehmender Masse stärker zu als beim Kabelnetz mit Dachhaut. Die theoretisch oder rechnerisch, ermittelten Eigenfrequenzen folgen im Ganzen den Frequenz-Masse-Verlauf des Kabelnetzes ohne Dachhaut. D.h. die rechnerischen Voraussetzungen stimmen gut mit den Verhältnissen des Kabelnetzes überein, im Gegensatz zu den Verhältnissen beim Kabelnetz mit Membranhaut. Aus dem Bild 8 sieht man, dass das Kabelnetz mit Dachhaut für verschiedene Massen mit der gleichen Frequenz schwingt. Es ist anzunehmen, dass das Kabelnetz mit Dachhaut die Schwingung mit einer Zusatzmasse ausführt (die viel grösser als die Masse der Dachhaut sein muss), und dass diese Masse von der mitschwingenden Luft herstammen muss.

Die Dämpfungsmasse der ersten Schwingungsform sind als Funktion der Masse im Bild 9 dargestellt. Als Mass der Dämpfung wird das logarithmische Dekrement verwendet: $\delta = \ln(A_i/A_{i+1})$ wobei A_i und A_{i+1} zwei aufeinander folgende Schwingungsamplituden darstellen. Man erkennt die unterschiedlichen Dämpfungsmasse der Versuche mit und ohne Dachhaut. Weiter erkennt man eine gewisse Abhängigkeit zwischen Masse und Dämpfung bei Kabelnetz mit Membranhaut; für das Kabelnetz ohne Dachhaut, aber nicht. Für das Kabelnetz mit Dachhaut nehmen die Dämpfungsmasse mit abnehmender Masse zu. Die Strukturdämpfung des Kabelnetzes konnte somit in dieser Weise getrennt werden. Sie beträgt etwa $\delta = 1-2\%$. Die restliche Dämpfung setzt sich aus der Strukturdämpfung des Dachhautes und der aerodynamischen Dämpfung zusammen. Es darf angenommen werden, dass die aerodynamische Dämpfung von der Masse abhängig ist. Um diese Annahme zu überprüfen wurde der Einfluss der Luft durch Luftdruckmessungen untersucht.

Durch Schwingungen eines Tragwerkes in freier Luft wird die umgebende Luft in Bewegung gesetzt. Es entsteht somit eine Druckvariation des umgebenden Luftmediums, die die Schwingung eines leichten Tragwerkes beeinflussen kann. Gleichzeitige Messungen des Luftdruckes und der Verschiebungen des Tragwerkes haben gezeigt, dass der Extremalwert des Druckes beim grössten Ausschlag erreicht wurde (Bild 10). Es handelt sich somit um einen Beschleunigungsdruck im Gegensatz zu einem Geschwindigkeitsdruck. Im letztgenannten Fall wäre eine Phasenverschiebung von etwa $\pi/2$ zwischen Druck und Verschiebung zu erwarten. Das Entstehen und die Berechnung des Luftdruckes kann auf die Theorie der mitschwingenden Luftmasse zurückgeführt werden. Die Folgen einer mitschwingenden Luftmasse sind normalerweise eine Herabsetzung der Resonanzfrequenzen, was auch deutlich bei den Versuchen der freien Schwingungen gezeigt wurde. Weiter kann die aerodynamische Dämpfung infolge des Entstehens der Luftdrücke erklärt werden.

Überschlägig kann die gesamte mitschwingende Masse der Luft als

$$m'' = C_m \rho_L a^3$$

bestimmt werden, wobei $\rho = 0,125 \text{ kp sek/m}^2$ die Densität der Luft, und $2a$ die Abmessungen (Seitenlänge) des Tragwerkes darstellen. Die Konstante C_m hängt von der Form des Tragwerkes ab und konnte für das untersuchte Tragwerk auf $C_m = 2,5-7,5$ angesetzt werden.

Die aerodynamische Dämpfung konnte als

$$\delta = \frac{C_p p_0 F}{2m\omega^2 r_0} = \frac{1}{2} C_p \frac{m'' F}{F_{\text{Tot}} m}$$

gefunden werden (4). Dabei bedeutet p_0 den Beschleunigungsdruck der Luft bei der Schwingungsamplitude r_0 , und dem Kreisfrequenz ω .

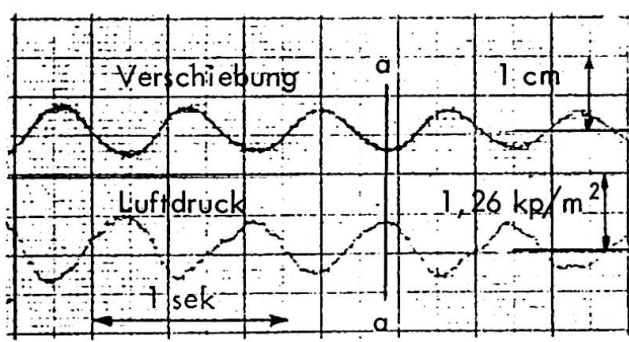


Bild 10. Verschiebung und Luftdruck in Kn.pkt. 12

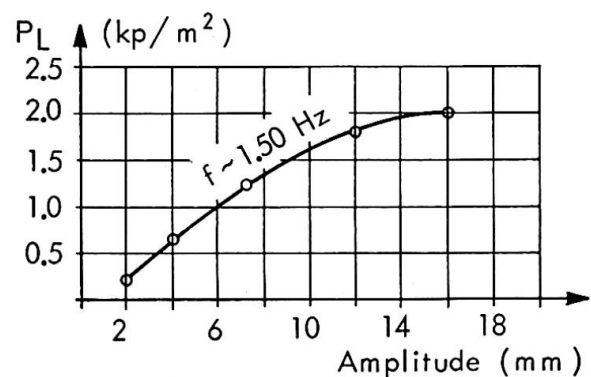


Bild 11. Gemessene Luftdrücke Kn.pkt. 12

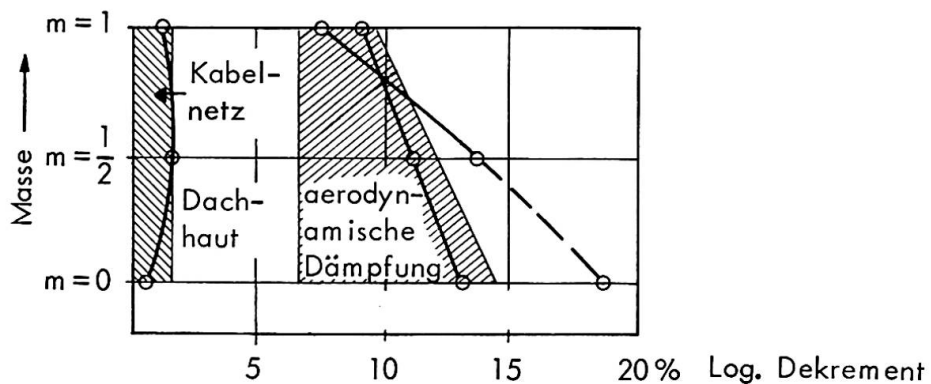


Bild 12. Trennung der Dämpfungseigenschaften

m/F bedeutet die mittlere Masse des schwingenden Tragwerkes pro Flächeneinheit, und m''/F_{Tot} die entsprechende mittlere Masse pro Flächeneinheit der mitschwingenden Luft. Die Konstante C wurde bei den ausgeführten Versuchen als $C_p = 0,03 - 0,07$ gefunden.^P Wichtig ist, dass die aerodynamische Dämpfung umgekehrt proportional der Masse ist, und dass die Bedeutung der aerodynamischen Dämpfung bei Schwingungen mit grossen Lasten (z.B. Schneelast) abnimmt. Die im Bild 9 erzielten Dämpfungsverhältnisse lassen sich wie folgt erklären:

Die Gesamtdämpfung des Tragwerkes besteht aus der Strukturdämpfung des Kabelnetzes, der Strukturdämpfung der Membranhaut und der aerodynamischen Dämpfung. Bild 12 zeigt die Trennung der Dämpfungseigenschaften.

Erzwungene Schwingungen

Durch einen Vibrator konnte das Tragwerk in erzwungenen Schwingungen versetzt werden. Dabei sollten die verschiedenen Resonanzstellen und die zugehörigen Schwingungsformen aufgenommen werden. Bei stetiger Änderung der Erregerfrequenz des Vibrators konnten die Resonanzstellen des Kabelnetzes entdeckt werden. Als Beispiel sollen die experimentell gefundenen Resonanzstellen des Kabelnetzes ohne Dachhaut für den Fall $m=1$ d.h. Voll-last aufgeschrieben werden (4):

1,85, 1,90, 2,00, 2,40, 2,55, 2,80, 2,85, 3,15, 3,25, 3,40, 3,70 Hz. Die theoretisch ermittelten Eigenfrequenzen stimmen gut mit den experimentell gefundenen Werten des Kabelnetzes ohne Dachhaut überein. Man erkennt, dass die Eigenfrequenzen des Kabelnetzes sehr nahe liegen.

Ein beschränkter Zahl der Resonanzstellen des Kabelnetzes mit Dachhaut konnte ebenfalls gefunden werden.

Die Aufnahmen von Response-diagrammen wurde unter Konstanthalten der Erregerkraft (3,0 kp Doppelamplitude) in den Knotenpunkten 14 bzw. 20 durchgeführt. Dabei wurde der Unterschied der zwei Systemen, Kabelnetz ohne Dachhaut, und Kabelnetz mit Dachhaut, sehr deutlich. Als Beispiel sind die Frequenz-Amplituden-diagramme der Resonanzstelle des ersten Schwingungsformes im Bild 13 dargestellt. Erstens ist die Verschiebung der Resonanzstelle, zweitens der Unterschied den Ausschläge deutlich. Man erkennt sofort der Einfluss der Dämpfung.

Beobachtungen beim Wind

Der natürliche Wind ist der massgebliche Schwingungserreger eines Seil- oder Membrantragwerkes. Durch Wirbelbildungen, Windstöße oder durch Flattern, können die Tragwerke dynamisch beansprucht werden. Beobachtungen des vorhandenen Tragwerkes haben

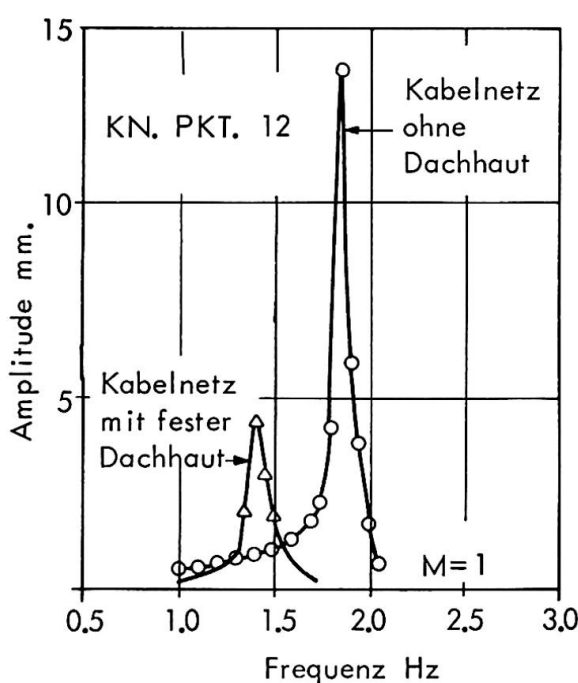


Bild 13. Response-diagramm

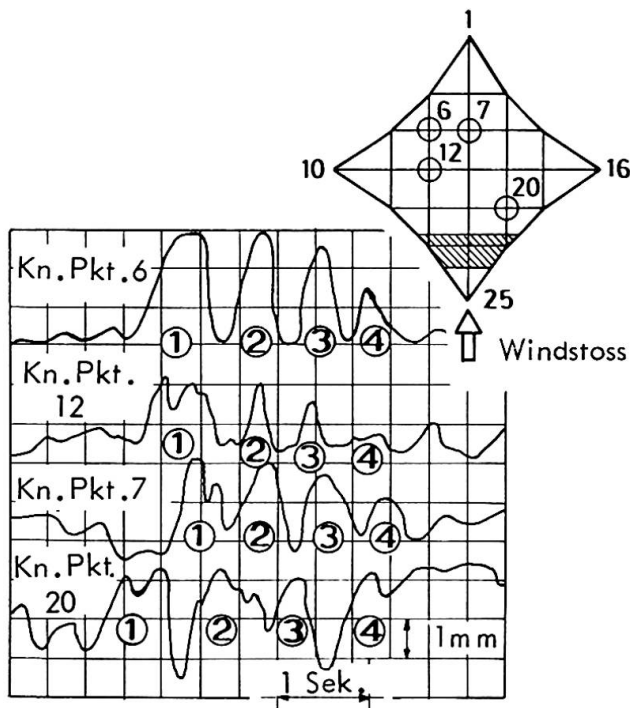


Bild 14. Windstoss

Auskunft über die Häufigkeit und die Entfaltungsdauer von Windböen gegeben. Die Bewegung der Windböen quer zur vorhandene Dachfläche wurde registriert, und auf Grund der Beobachtungen darf bei Berechnungen mit einem "Wandern" der Windböen gerechnet werden. Bild 14 zeigt das Fortschreiten einer Windbōe quer zum vorhandenen Bauwerk. Die mitschwingende Luftmasse ist auch unter Windlast bei leichten Tragwerken in Rechnung zu stellen

5. ZUSAMMENFASSUNG

Durch experimentelle Untersuchungen in grossem Maßstab wurde das dynamische Verhalten eines vorgespannten Kabelnetzes untersucht. Insbesondere haben die Versuche eine bessere Kenntnis der Dämpfungseigenschaften, der Einwirkung der umgebenden Luft, sowie des Verhaltens des Tragwerkes unter Windlast gegeben.

LITERATUR

- (1) Jensen, J.J.:
"Eine statische und dynamische Untersuchung der Seil- und Membrantragwerke". Division of Structural Mechanics, The Norwegian Institute of Technology, The University of Trondheim, Norway. Report No. 70-1, September 1970.
- (2) Knudson, W.C.:
"Static and Dynamic Analysis of Cable-Net Structures". University of California, Berkeley. April 1971.
- (3) Argyris, J.H. und Scharpf, D.W.:
"Berechnung vorgespannter Netzwerke". Verlag der Bayerischen Akademie der Wissenschaften. München 1970.
- (4) Jensen, J.J.:
"Das dynamische Verhalten eines vorgespannten Kabelnetzes". Division of Structural Mechanics, The Norwegian Institute of Technology. Report No. 71-2. September 1971.

Leere Seite
Blank page
Page vide